

# Versuch 253 Absorbtion ionisierender Strahlung

Leonardo Karl Reiter

March 21, 2024

# Contents

|          |  |           |
|----------|--|-----------|
| <b>1</b> | <b>Zielsetzung</b>   | <b>2</b>  |
| <b>2</b> | <b>Grundlagen</b>  | <b>2</b>  |
| 2.1      | $\alpha$ -Strahlung . . . . .  | 2         |
| 2.2      | $\beta$ -Strahlung . . . . .   | 2         |
| 2.3      | $\gamma$ -Strahlung . . . . .  | 2         |
| 2.4      | Absorbtion . . . . .   | 3         |
| 2.4.1    | Photoeffekt . . . . .  | 3         |
| 2.4.2    | Compton Streuung . . . . .   | 3         |
| 2.4.3    | Paarbildung . . . . .  | 3         |
| <b>3</b> | <b>Durchführung</b>  | <b>5</b>  |
| 3.1      | Nulleffekt $n_0$ . . . . .   | 5         |
| 3.2      | Absorbtion von $\beta$ -Strahlung in Aluminium . . . . .                           | 5         |
| 3.3      | Absorption von $\gamma$ -Strahlung in Blei . . . . .                               | 5         |
| 3.4      | Aktivität des $\gamma$ -Strahlers . . . . .  | 5         |
| 3.5      | Absorbtion und Energiebestimmung von $\alpha$ -Strahlung . . . . .                 | 5         |
| <b>4</b> | <b>Messprotokoll</b>   | <b>6</b>  |
| <b>5</b> | <b>Auswertung</b>  | <b>8</b>  |
| 5.1      | Teil 1: Messung des Nulleffekts . . . . .  | 8         |
| 5.2      | Teil 2: Absorption von $\beta$ -Strahlung in Aluminium . . . . .                   | 9         |
| 5.2.1    | Fitfunktion . . . . .  | 9         |
| 5.2.2    | Flächendichte . . . . .  | 11        |
| 5.3      | Teil 3: Absorption von $\gamma$ -Strahlung in Blei . . . . .                       | 13        |
| 5.3.1    | Fitfunktion . . . . .  | 13        |
| 5.3.2    | Schwächungskoeffizient . . . . .   | 15        |
| 5.4      | Teil 4: Aktivität des vorliegenden $\gamma$ -Strahlers . . . . .                   | 17        |
| 5.4.1    | Rückrechnung vom Litteraturwert . . . . .  | 17        |
| 5.4.2    | Raumwinkel-Korrektur . . . . .   | 19        |
| 5.4.3    | Absorptions-Korrektur . . . . .  | 21        |
| 5.5      | Teil 5: Absorptionsmessung und Energiebestimmung von $\alpha$ -Strahlung . . . . . | 22        |
| 5.5.1    | Fitfunktion . . . . .  | 22        |
| 5.5.2    | Berechnung der Reichweite $s_1$ von $\alpha$ -Strahlung . . . . .                  | 24        |
| 5.5.3    | Korrekturen . . . . .  | 25        |
| 5.5.4    | Energiemessung . . . . .   | 25        |
| <b>6</b> | <b>Diskussion</b>  | <b>26</b> |
| 6.1      | $\beta$ -Strahlung . . . . .   | 26        |
| 6.2      | $\gamma$ -Strahlung . . . . .  | 28        |
| 6.2.1    | Absorbtion . . . . .   | 28        |
| 6.2.2    | Aktivität . . . . .  | 29        |
| 6.3      | $\alpha$ -Strahlung . . . . .  | 30        |
| 6.4      | Fazit . . . . .  | 30        |

# 1 Zielsetzung

Messung der Absorption von  $\alpha$ -,  $\beta$ - und  $\gamma$ - Strahlung sowie Bestimmung der maximalen Energie der  $\beta$ - Strahlung bzw. der  $\alpha$ - und  $\beta$ - Strahlen und schließlich die Abschätzung der Aktivität des  $\alpha$ -Strahlers

## 2 Grundlagen

Radioaktivität ist die Eigenschaft ionisierender Atomkerne spontan unter Abstrahlung von Energie durch geladene Teilchen und elektromagnetischer Strahlung in energetisch günstigere Zustände zu zerfallen. Es gilt das Zerfallsgesetz

$$n = n_0 \cdot e^{-\lambda t} \quad (1)$$

Wobei die Zerfallskonstante  $\lambda$  aus der Halbwertszeit  $T_{1/2}$  hervorgeht:

$$\lambda = \frac{\ln(2)}{T_{1/2}} \quad (2)$$

Die Zerfallsarten unterscheiden sich in der Form der abgestrahlten Energie.

### 2.1 $\alpha$ -Strahlung

$\alpha$ - Strahlung besteht aus von zweifach positiven Heliumkernen. Der Zerfall wird beschrieben durch:



$\alpha$ - Strahlung weist diskrete Energien auf welche charakteristisch für den für den emittierenden Stoff sind. Aufgrund relativ hohen Masse der  $\alpha$ - Teilchen erhält der Restkern einen Rückstoß der groß genug ist, um umliegende Moleküle zu ionisieren.

### 2.2 $\beta$ -Strahlung

$\beta$ - Strahlung besteht aus Elektronen  $\beta^-$ - Zerfall oder Positronen  $\beta^+$ - Zerfall. Es gilt:



Die freiwerdenden, nahezu masselosen, (Anti-) Neutrinos können Energie ausstrahlen, sodass das Energiespektrum der Positronen bzw. Elektronen zwischen 0 und einer Maximalenergie kontinuierlich ist. Auch hier erhält der Restkern einen Rückstoß, der aber wegen der geringen Masse von Elektronen bzw. Positronen viel kleiner ist als die beim  $\alpha$ - Zerfall.

### 2.3 $\gamma$ -Strahlung

$\gamma$ - Strahlung ist elektromagnetische Strahlung und besteht aus  $\gamma$ - Quanten auch  $\gamma$ - Photonen genannt. Sie ist ein Nebenprodukt bei  $\alpha$ - und  $\beta$ - Zerfällen. Beim Übergang von einem angeregten Zustand in den Grundzustand wird ein Photon mit charakteristischer Energie emittiert. Das Energiespektrum eines  $\gamma$ -Strahlers ist somit auch diskret.

## 2.4 Absorption

$\alpha$ - und  $\beta$ - Teilchen werden in Materie durch Stöße und Wechselwirkungen mit den Elektronen der Atomhülle gebremst. Der Energieverlust ist umgekehrt proportional zur Geschwindigkeit des Teilchens im Quadrat. Die schweren  $\alpha$ - Teilchen sind relativ langsam und haben daher eine kurze Reichweite. Aufgrund der diskreten Energien bleibt die Zählrate bei Variation der Absorptionsdicke konstant, bis sie ab einer kritischen Dicke schnell abfällt.  $\beta$ - Teilchen sind deutlich leichter und schneller und haben daher eine höhere Reichweite als  $\alpha$ - Teilchen. Allerdings werden sie auch mehrfach gestreut, sodass die wahre Bahnlänge im Absorber deutlich größer sein kann als die Absorptionsdicke. Dies und die Kontinuität des Energiespektrums erschweren eine Auswertung Absorptionskurve bezüglich der Energie-Reichweite-Beziehung. Für  $\gamma$ - Quanten gilt in Materie das Lambert-Beer-Gesetz

$$n = n_0 \cdot e^{-\mu x} \quad (6)$$

wobei  $\mu$  der Schwächungskoeffizient des Absorbermaterials und  $x$  die Eindringtiefe in den Absorber ist.

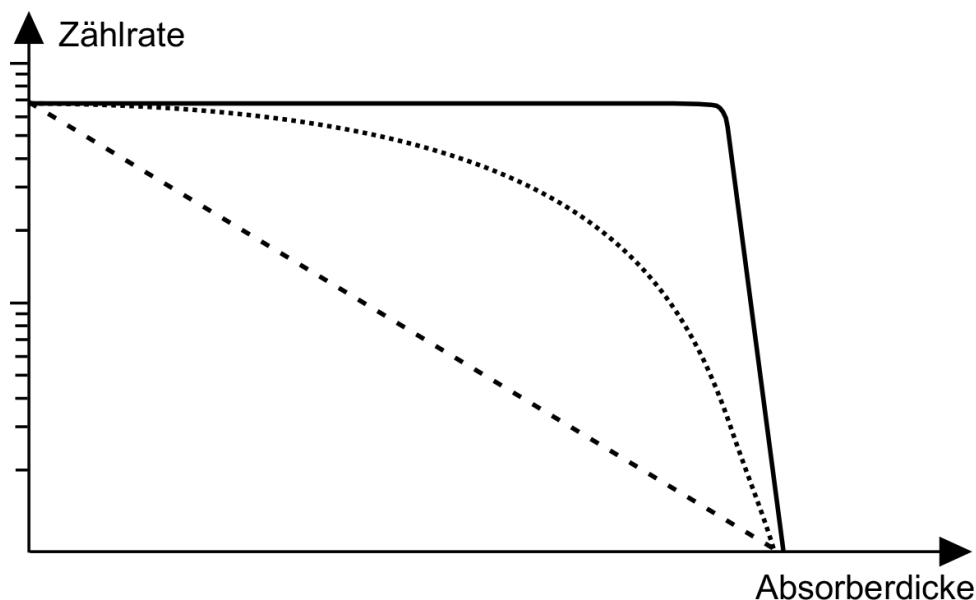


Figure 1: Schematische Darstellung der Reichweite von  $\alpha$ - (durchgezogene Linie),  $\beta$ - (gepunktete Linie) und  $\gamma$ -Strahlung (gestrichene Linie) in Materie. Die X-Achse ist in diesem Fall nicht Maßstabsgetreu für die drei Plots und wurde so angepasst, dass die maximale Eindringtiefe  $x_G$  für alle drei Strahlungstypen auf den selben Punkt fällt.

Zur Schwächung tragen hauptsächlich **Photoeffekt**, **Compton Streuung** und **Paarbildung** bei (Abbildung 2):

### 2.4.1 Photoeffekt

Ein Elektron wird durch ein  $\gamma$ - Quant, aus der Atomhülle geschlagen und das  $\gamma$ - Quant dabei absorbiert. Nachrückende Elektronen emittieren Strahlung welche, welche in charakteristischen Absorptionslinien sichtbar ist.

### 2.4.2 Compton Streuung

Ein  $\gamma$ - Quant wird inelastisch an einem Hüllenelektron gestreut.

### 2.4.3 Paarbildung

Ein energiereiches  $\gamma$ - Quant ( $E_\gamma > 1,022 \text{ MeV}$ ) zerfällt in ein Elektron-Positron-Paar und überträgt seine Energie in Ruheenergie der Teilchen sowie kinetischer Energie. Zur Erhaltung des Impulses muss noch

ein weiteres Teilchen, bevorzugt ein Kern, beteiligt sein, welches den verbleibenden Impuls aufnimmt.

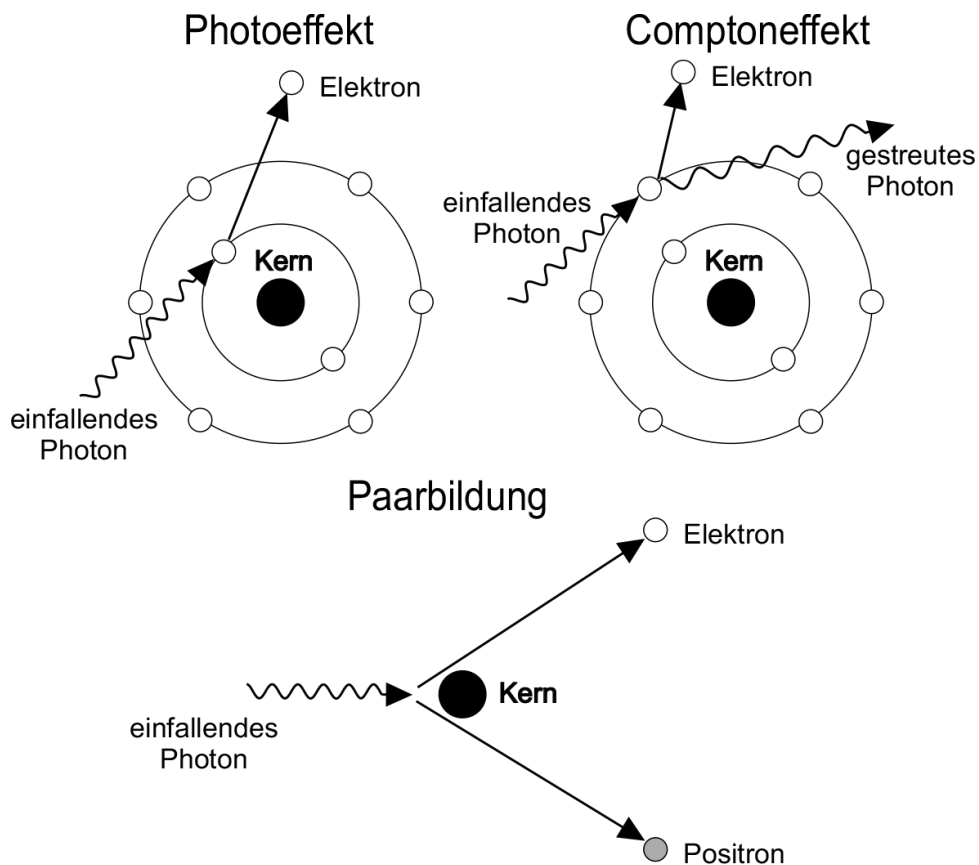


Figure 2: Absorption von  $\gamma$ -Strahlung durch Photoeffekt, Comptoneffekt und Paarbildung.

Für kleinere Energien dominiert der Photoeffekt den Schwächungskoeffizienten, welcher mit steigender Energie, bis die Compton Streuung übernimmt. Schließlich steigt er wieder und die Paarbildung dominiert (Abbildung 3).

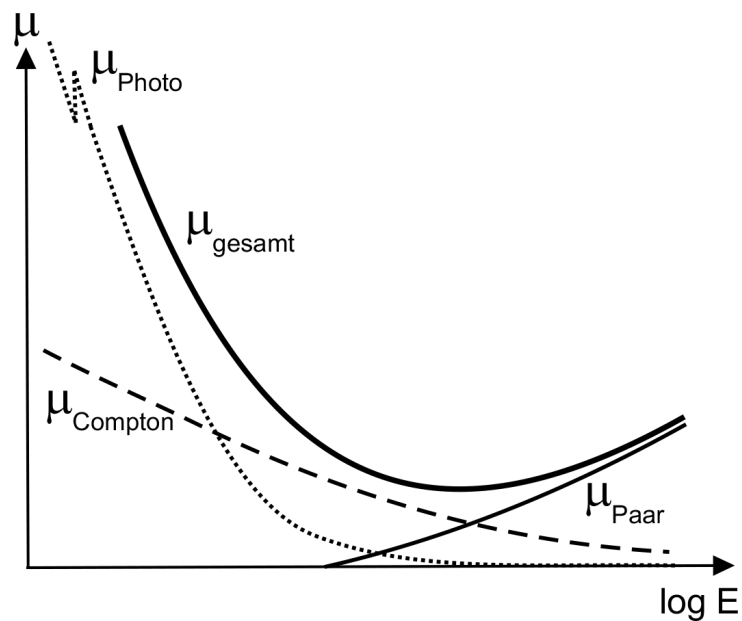


Figure 3: Beitrag des Photoeffekt, Comptoneffekt und Paarbildung zum Schwächungskoeffizient für  $\gamma$ -Strahlung.

### 3 Durchführung

#### 3.1 Nulleffekt $n_0$

Zunächst muss der Nulleffekt  $n_0$  gemessen dazu werden alle Radioaktivitäten aus dem Raum genommen und die Grundradioaktivität des Labors bestimmt. Diese dient als Anhaltspunkt für alle nachfolgenden Messungen.

#### 3.2 Absorption von $\beta$ -Strahlung in Aluminium

Bei der  $\beta$ -Probe handelt es sich um ein  $^{90}\text{Sr}/^{90}\text{Y}$ -Präparat. Dieses wird in einem Abstand von 6 cm vor das Zählrohr montiert. Nun wird zunächst eine Messung ohne Abschirmung durchgeführt und anschließend immer mehr Aluminium vor das Zählrohr geschoben, bis die Zählrate ungefähr wieder dem Nulleffekt entspricht. Nun ist der Nulleffekt mit Berücksichtigung der Bremsstrahlung der  $\beta$ -Teilchen im Aluminiumabsorber und sonstiger  $\gamma$ -Strahlung zu bestimmen. Dieser ist dann der Nulleffekt  $n_0^\beta$ .

#### 3.3 Absorption von $\gamma$ -Strahlung in Blei

Bei der  $\gamma$ -Probe handelt es sich um ein  $^{60}\text{C}$ -Präparat. Dieses wird in einem Abstand von 15 cm vor das Zählrohr montiert. Auch hier wird wieder zunächst eine Messung ohne Abschirmung durchgeführt. Diese wird im Laufe des Versuchs schrittweise erhöht.

#### 3.4 Aktivität des $\gamma$ -Strahlers

Der  $\gamma$ -Strahler wird nun in einem Abstand von 5 cm vor das Zählrohr montiert und mit einer kegelförmigen Öffnung versehen. Wieder wird die Zählrate über eine feste Zeit gemessen und der Abstand nach jeder Messung verdoppelt.

#### 3.5 Absorption und Energiebestimmung von $\alpha$ -Strahlung

Als Absorber wird diesmal Luft verwendet. In einem evakuierten Glasrohr wird nach und nach der Druck erhöht und dabei die Zählrate gemessen. Zur Beseitigung energiearmer Elektronen, die neben den  $\alpha$ -Teilchen aus dem Material emittiert werden, befindet sich ein Magnet, der diese vom Zählrohr ablenkt.

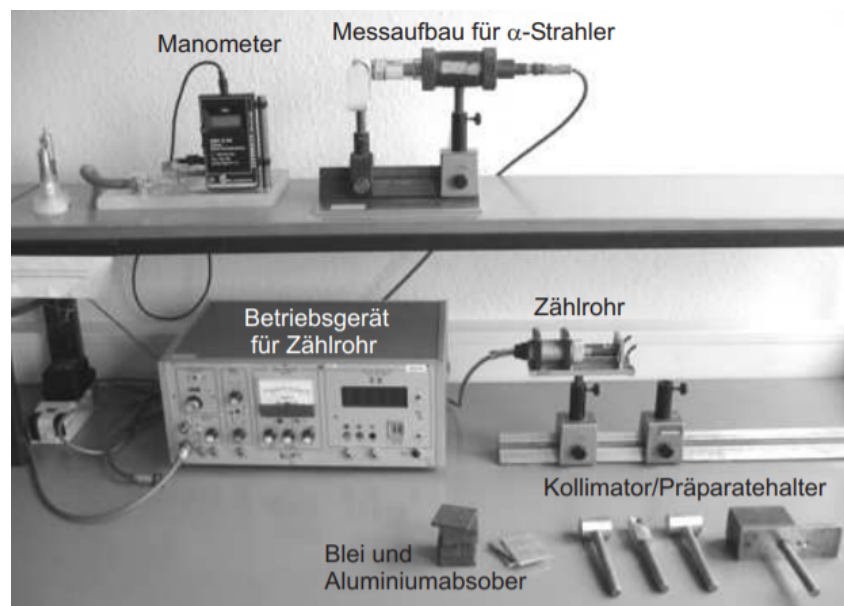


Figure 4: Aufbau des Versuchs.

## 4 Messprotokoll

9.3.2022

Namen: Schadele  
Leonardo Reiter

# Messprotokoll zu Versuch 253 "Absorption von $\alpha$ - $\beta$ und $\gamma$ -Strahlung"

$\beta$ -Strahlung von  $^{90}\text{Sr} / ^{90}\text{Y}$ -Präparat Nullmessung: 95 / 5 min

Abstand  $d = 6,0 \pm 0,2$  cm (Nr. CT 872)  $\rightarrow 19 / \text{min} = n_0$

Counts  $n$  Abschirmung (mm)  $a$  Integrationszeit  $\Delta t$  [sec]

|     |             |     |
|-----|-------------|-----|
| 823 | 0           | 30  |
| 526 | 0,2         | 30  |
| 338 | 0,5         | 30  |
| 244 | 0,9         | 30  |
| 143 | 1,2         | 30  |
| 84  | 1,5 (5-0,3) | 30  |
| 84  | 1,5 (1-0,5) | 30  |
| 38  | 1,8         | 30  |
| 46  | 2,1         | 30  |
| 26  | 2,4         | 30  |
| 76  | 2,7         | 120 |
| 64  | 3,0         | 120 |
| 45  | 3,3         | 120 |
| 38  | 3,6         | 120 |
| 113 | 4,6         | 300 |

$\Rightarrow 19 / \text{min}$

## Tabelle 1: Messung der Eindringtiefe von $\beta$ -Strahlung

Bemerkung: das Präparat wurde nicht ganz auf den Zähler zentriert dadurch waren die counts etwas niedriger.

$\Delta x = 0,5$   
 $\Delta y = 0,8$  Messung mit zentriertem Präparat:  $1152 \frac{\text{counts}}{30\text{sec}}$   
bei  $a=0$

$\gamma$ -Strahlung von  $^{60}\text{Co}$ -Präparat

Abstand  $15,0 \pm 0,2$  cm (Nr. A SN 372) 5700 bSg  $\star$

| $n$  | $a$ [cm.] | $\Delta t$ [min] |
|------|-----------|------------------|
| 1107 | 0         | 1                |
| 748  | 0,5       | 1                |
| 547  | 1         | 1                |
| 473  | 1,5       | 1                |
| 380  | 2         | 1                |
| 257  | 2,5       | 1                |
| 167  | 3         | 1                |
| 137  | 3,5       | 1                |
| 107  | 4         | 1                |
| 92   | 4,5       | 1                |
| 72   | 5         | 1                |

$\gamma$ -Strahlung

counts n

Aktivität ( $a=0$ )

Abstand d [cm]

$\Delta t = 1$

15024

$5 \pm 0,5$

3886

$10 \pm 0,5$

990

$20 \pm 0,5$

456

$30 \pm 0,5$

$\alpha$ -Strahlung

d = 4,45 cm

Absorptionsmessung

Flächendichte des Glimmerfensters

$\frac{\text{mg}}{\text{cm}^2}$  2,35

counts n

Druck p [mbars]

$\Delta t = 1$

5676

30 - 31

5625

130 ~~261~~

5507

233

5131

300 - 301

47027

326 - 327 7

49952

310 - 311 6

4398

330

3725

340

3003

359

2316

362 - 363

1669

372 - 373

1139

380

733

390 - 391

346

402

3.5.22  
7.2.2022

\*

|        | Neue Aktivität | Datum    | berechnet | Datum  |
|--------|----------------|----------|-----------|--------|
| C-60   | 3700 kBq       | 2.3.2010 | 890 kBq   | 1.1.21 |
| Sr 90  | 74 kBq         | Dez 91   | 39 kBq    | 1.1.19 |
| Am-241 | 90 kBq         | Ok 75    | 84 kBq    | 11.18  |



## 5 Auswertung

```
[1]: #Importieren von allen benötigten Modulen

%matplotlib inline
import matplotlib.pyplot as plt
import numpy as np
from scipy.optimize import curve_fit
from scipy.stats import chi2
import io
import matplotlib
matplotlib.rcParams.update({'font.size': 20})
plt.rcParams["figure.figsize"] = 16, 9
```

### 5.1 Teil 1: Messung des Nulleffekts

Der Nulleffekt, bezieht sich auf die Tatsache, dass es an jedem Ort eine gewisse Grundaktivität gibt, diese macht es unmöglich irgendwann eine Zählrate von null zu messen. Bei den folgenden Versuchen zur Absorption, werden wir deshalb davon ausgehen, dass die Strahlung der radioaktiven Quellen dann absorbiert wurde, wenn wir nur noch die Grundaktivität oder weniger messen werden. Diese Messung ist also notwendig für das weitere Vorgehen.

```
[19]: #Betriebsspannung
U1=550 #V
U1_err=6 #V

#Zerfälle in 5 Minuten = 300s
n0=95
n0_err=np.sqrt(n0)

#Normierung auf Zerfälle/Sekunde
n0_s=n0/300
n0_s_err=n0_err/300

print('Die Messung der Grundaktivität im Versuchsraum zu Versuchsbeginn:')
print()
print('n0 = ', n0, ' ± ', n0_err)
print('n0_red = ', n0_s, ' ± ', n0_s_err)
```

Die Messung der Grundaktivität im Versuchsraum zu Versuchsbeginn:

```
n0 = 95 ± 9.746794344808963
n0_red = 0.31666666666666665 ± 0.03248931448269654
```

$$n_0 = 95 \pm 10 [1/5\text{min}] \quad (7)$$

$$n_0^{\text{red}} = 0.317 \pm 0.032 [1/\text{sec}] \quad (8)$$

## 5.2 Teil 2: Absorption von $\beta$ -Strahlung in Aluminium

Wichtig bei dieser Messung ist, dass die Abschirmung am Detektor montiert wurde und nicht an der Probe. Dadurch sinkt die Zählrate unter dem Wert der Nullmessung  $n_0$ .

```
[3]: #Kennnummer des Präparats: CT 872

#Anzahl Zerfälle
n_beta=np.array([823,534,338,244,142,84 ,84 ,58 ,46 ,24, 74, 64, 45, 38,113])
n_beta_err=np.sqrt(n_beta)

#Torzeit
T = np.array([30 ,30 ,30 ,30 ,30 ,30 ,30 ,30 ,30 ,30 ,120,120,120,120,300])

#Absorberdicke in mm
x1 = np.array([0 ,0.3,0.6,0.9,1.2,1.5,1.8,2.1,2.4,2.7,3.0,3.3,3.6,3.9,4.6])
x1_err = np.ones(n_beta.size)*0.2

#aus letztem Messwert wird n0_beta bestimmt, n0_beta in Zerfälle/s
n0_beta=n_beta[-1]/300
n0_beta_err=n_beta_err[-1]/300

#Abzug der Nullmessung unter Berücksichtigung der jeweiligen Torzeit, angegeben in
→Zerfälle/s
n_beta_korr=n_beta/T-n0_beta
n_beta_korr_err=np.sqrt((n_beta_err/T)**2+n0_beta_err**2)
```

### 5.2.1 Fitfunktion

```
[4]: from scipy import odr

def fit_func(p, x):
    mu, n0_beta, A = p
    return A*np.exp(-x*mu)-n0_beta

model = odr.Model(fit_func)

#darzustellende Daten
x = x1
y = n_beta_korr
delta_x = x1_err
delta_y = n_beta_korr_err

#Startparameter
para0 = [1,1,1]

data = odr.RealData(x, y, sx=delta_x, sy=delta_y)
odr = odr.ODR(data, model, beta0=para0 )
out = odr.run()

#1-Sigma
popt = out.beta
perr = out.sd_beta

#Sigma-Umgebung
nstd = 1 # um n-Sigma-Umgebung zu zeichnen
popt_top = popt+nstd*perr
```

```

popt_bot = popt-nstd*perr

#Plot-Umgebung
x_fit = np.linspace(0,6,1000)
fit = fit_func(popt, x_fit)
fit_top = fit_func(popt_top, x_fit)
fit_bot = fit_func(popt_bot, x_fit)

x_G = np.log(popt[2]/popt[1])/popt[0]
x_G_err = np.sqrt((1/(popt[0]*popt[2])*perr[2])**2 +
                  (1/(popt[0]*popt[1])*perr[1])**2 +
                  (np.log(popt[2]/popt[1])/(popt[0]**2)*perr[0])**2)

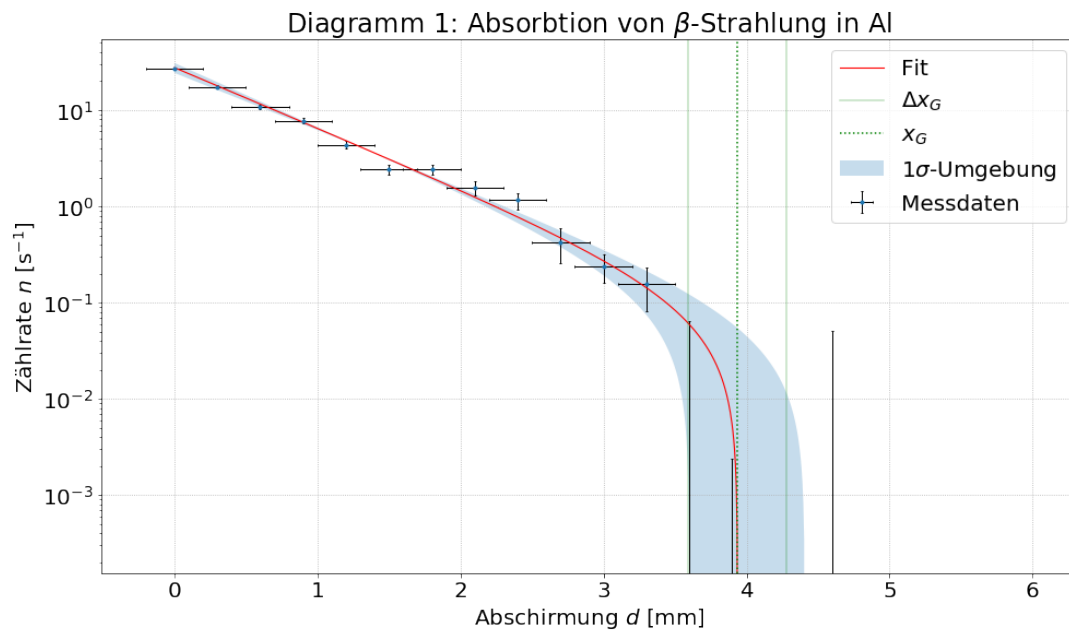
#Plot
fig, ax = plt.subplots(1)
plt.errorbar(x, y, yerr=delta_y, xerr=delta_x, lw=1, ecolor='k', fmt='.',
            ↪ capsize=1, label='Messdaten')
plt.title('Diagramm 1: Absorbtion von  $\beta$ -Strahlung in Al')
plt.grid(linestyle='dotted')
plt.yscale('log')
plt.xlabel('Abschirmung  $d$  [mm]')
plt.ylabel('Zählrate  $N$  [ $s^{-1}$ ])')
plt.plot(x_fit, fit, 'r', lw=1.1, label='Fit')
plt.axvline(x=x_G-x_G_err, color='g', alpha=.25, label=r' $\Delta \{x_G\}$ ')
plt.axvline(x=x_G+x_G_err, color='g', alpha=.25)
plt.axvline(x=x_G, color='g', linestyle=':', label=r' $\{x_G\}$ ')
ax.fill_between(x_fit, fit_top, fit_bot, alpha=.25,
            ↪ label=str(nstd)+r' $\sigma$ -Umgebung')
plt.legend(loc='best')
plt.show()

from scipy.stats import chi2

dof = x.size-popt.size
chisquare = np.sum(((fit_func(popt, x)-y)**2)/
                  (delta_y**2+((fit_func(popt, x+delta_x)-fit_func(popt,
            ↪ x-delta_x))/2)**2))
chisquare_red = chisquare/dof
prob = round(1-chi2.cdf(chisquare,dof),2)*100

print('mu =', popt[0], ' ± ', perr[0], ' [1/mm]')
print('n0_beta =', popt[1], ' ± ', perr[1], ' [1/sec]')
print('A =', popt[2], ' ± ', perr[2], ' [1/sec]')
print()
print('x_G =', x_G, ' ± ', x_G_err, ' [mm]')
print()
print('Chi-Quadrat =', chisquare)
print('Freiheitsgrade =', dof)
print('Chi-Quadrat reduziert =', chisquare_red)
print('Wahrscheinlichkeit ein größeres oder gleiches Chi-Quadrat zu erhalten =',
            ↪ prob, '%')

```



$\mu = 1.4436024850325357 \pm 0.08146009754479987$  [1/mm]

$n0\_beta = 0.09439013674250579 \pm 0.03390650291974597$  [1/sec]

$A = 27.74856512063602 \pm 3.2918750265207075$  [1/sec]

$x\_G = 3.9370275996112505 \pm 0.3435496188614603$  [mm]

Chi-Quadrat = 5.639594243836465

Freiheitsgrade = 12

Chi-Quadrat reduziert = 0.46996618698637205

Wahrscheinlichkeit ein größeres oder gleiches Chi-Quadrat zu erhalten = 93.0 %

### 5.2.2 Flächendichte

Die Flächendichte  $R_\beta$  ergibt sich aus:

$$R_\beta = \rho_{Al} \cdot x_G + R_{ES}^\beta \quad (9)$$

```
[5]: rho_alu=2.6989 # [g/cm³]
R_beta_ES=0.130 # [g/cm²]

R_beta=rho_alu*x_G+R_beta_ES
R_beta_err=rho_alu*x_G_err

print('Die Flächendichte R_beta berechnet sich zu:')
print('R_beta = (' ,R_beta,' ± ' ,R_beta_err,' ) [g/cm²]')

E_max=1.8 #MeV
E_max_err=0.2
print('Dies entspricht einer Maximalenergie von E_max = ' ,E_max,' ± ' ,E_max_err,' _
→[MeV] ')
print()

#Vergleich mit Literaturwert Diagramm 5 liefert:
```

```
E_max_lit=2.274 #MeV
```

```
diff=np.abs(E_max-E_max_lit)
diff_err=E_max_err
```

```
print('Der Vergleich mit dem Literaturwert von ' + str(E_max_lit) + ' [MeV] liefert:
→')
print('diff_E_max = ' + str(diff) + ' ± ' + str(diff_err)+ ' [MeV] \n=> sigma =_
→',round(diff/diff_err,2))
```

Die Flächendichte  $R_{\beta}$  berechnet sich zu:

$R_{\beta} = ( 10.755643788590804 \pm 0.9272060663451952 ) \text{ [g/cm}^2\text{]}$

Dies entspricht einer Maximalenergie von  $E_{\max} = 1.8 \pm 0.2 \text{ [MeV]}$

Der Vergleich mit dem Literaturwert von 2.274 [MeV] liefert:

$\text{diff\_E\_max} = 0.474 \pm 0.2 \text{ [MeV]}$

$\Rightarrow \text{sigma} = 2.37$

$$R_{\beta} = 17.220 \pm 3.132 \text{ [g/cm}^2\text{]} \quad (10)$$

$$\Rightarrow E_{\max} = 1.8 \pm 0.2 \text{ [MeV]} \quad (11)$$

$$E_{\max}^{\text{lit}} = 2.274 \text{ [MeV]} \quad (12)$$

$$\Rightarrow 2.37\sigma \quad (13)$$

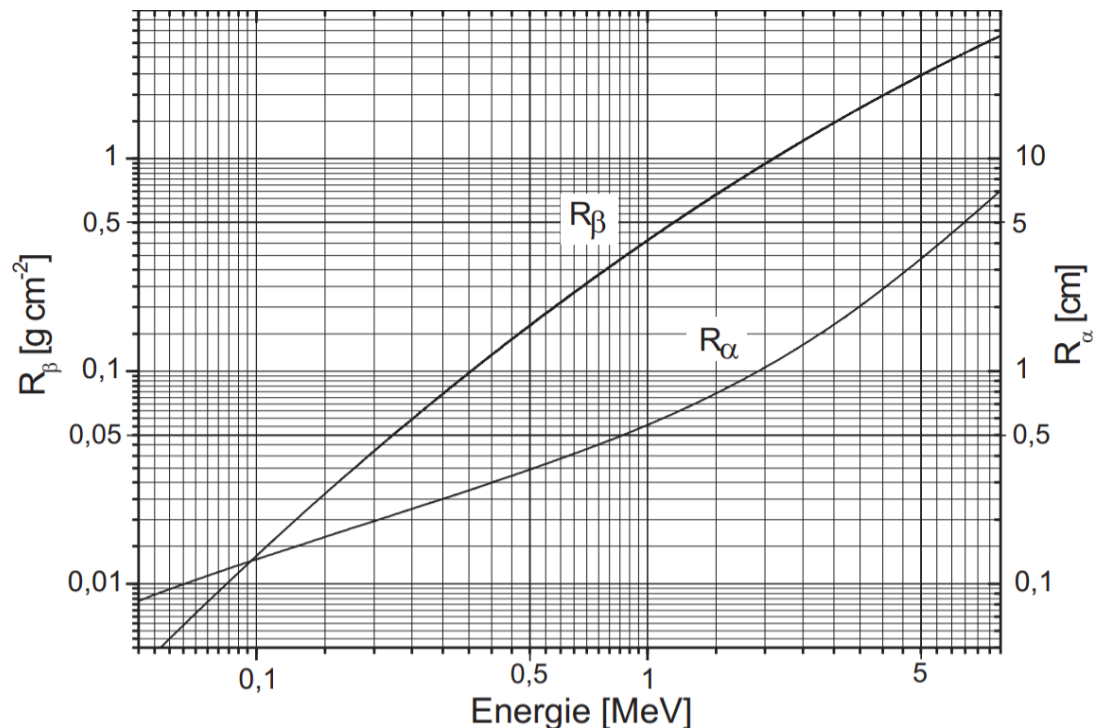


Figure 5: Reichweite von  $\beta$ -Strahlung in Aluminium und  $\alpha$ -Strahlung in Luft.

### 5.3 Teil 3: Absorption von $\gamma$ -Strahlung in Blei

Bei dieser Messung wurde die Abschirmung an der Probe montiert und nicht an dem Detektor, dadurch entstehen keine Werte unterhalb des Wertes der Nullmessung  $n_0$ .

```
[6]: #Kennnummer des Präparats: A SN375

#Anzahl Zerfälle
n_gamma=np.array([1107,748,547,417,350,237,167,137,102,92,72])
n_gamma_err=np.sqrt(n_gamma)

#Torzeit immer 60s

#Absorberdicke in cm
x2 = np.array([0,0.5,1.0,1.5,2.0,2.5,3.0,3.5,4.0,4.5,5.0])
x2_err = np.ones(x2.size)*0.02

#Abzug der Nullmessung unter Berücksichtigung der jeweiligen Torzeit
n_gamma_korr=1/60*(n_gamma-(n0_s*60)*np.ones(n_gamma.size)) #in Zerfälle/s
n_gamma_korr_err=1/60*np.sqrt(n_gamma_err**2+(60*n0_s_err*np.ones(n_gamma.size))**2)
```

#### 5.3.1 Fitfunktion

```
[7]: from scipy import odr

def fit_func(p, x):
    mu, n0_gamma, A = p
    return A*np.exp(-x*mu)+n0_gamma

model = odr.Model(fit_func)

#darzustellende Daten
x = x2
y = n_gamma_korr
delta_x = x2_err
delta_y = n_gamma_korr_err

#Startparameter
para0 = [1,1,1]

data = odr.RealData(x, y, sx=delta_x, sy=delta_y)
odr = odr.ODR(data, model, beta0=para0 )
out = odr.run()

#1-Sigma
popt = out.beta
perr = out.sd_beta

#Sigma-Umgebung
nstd = 1 # um n-Sigma-Umgebung zu zeichnen
popt_top = popt+nstd*perr
popt_bot = popt-nstd*perr

#Plot-Umgebung
x_fit = np.linspace(0,10,1000)
fit = fit_func(popt, x_fit)
```

```

fit_top = fit_func(popt_top, x_fit)
fit_bot = fit_func(popt_bot, x_fit)
subfit_1 = popt[2]*np.exp(-x_fit*popt[0])
subfit_2 = np.full(x_fit.size, popt[1])

x_G = np.log(popt[2]/popt[1])/popt[0]
x_G_err = np.sqrt((1/(popt[0]*popt[2])*perr[2])**2 +
                  (1/(popt[0]*popt[1])*perr[1])**2 +
                  (np.log(popt[2]/popt[1])/(popt[0]**2)*perr[0])**2)

#Plot
fig, ax = plt.subplots(1)
plt.errorbar(x, y, yerr=delta_y, xerr=delta_x, lw=1, ecolor='k', fmt='none',
             ↪capsize=1, label='Messdaten')
plt.title('Diagramm 2: Absorbtion von  $\gamma$ -Strahlung in Pb')
plt.grid(linestyle='dotted')
plt.yscale('log')
plt.xlabel('Abschirmung  $d$  [cm]')
plt.ylabel('Zählrate  $n$  [ $s^{-1}$ ])')
plt.plot(x_fit, fit, 'r', lw=1.1, label='Fit')
plt.axvline(x=x_G-x_G_err, color='g', alpha=.25, label=r' $\Delta x_G$ ')
plt.axvline(x=x_G+x_G_err, color='g', alpha=.25)
plt.axvline(x=x_G, color='g', linestyle=':', label=r' $x_G$ ')
plt.plot(x_fit, subfit_1, 'r--', lw=1)
plt.plot(x_fit, subfit_2, 'r--', lw=1)
ax.fill_between(x_fit, fit_top, fit_bot, alpha=.25,
               ↪label=str(nstd)+r' $\sigma$ -Umgebung')
plt.legend(loc='best')
plt.show()

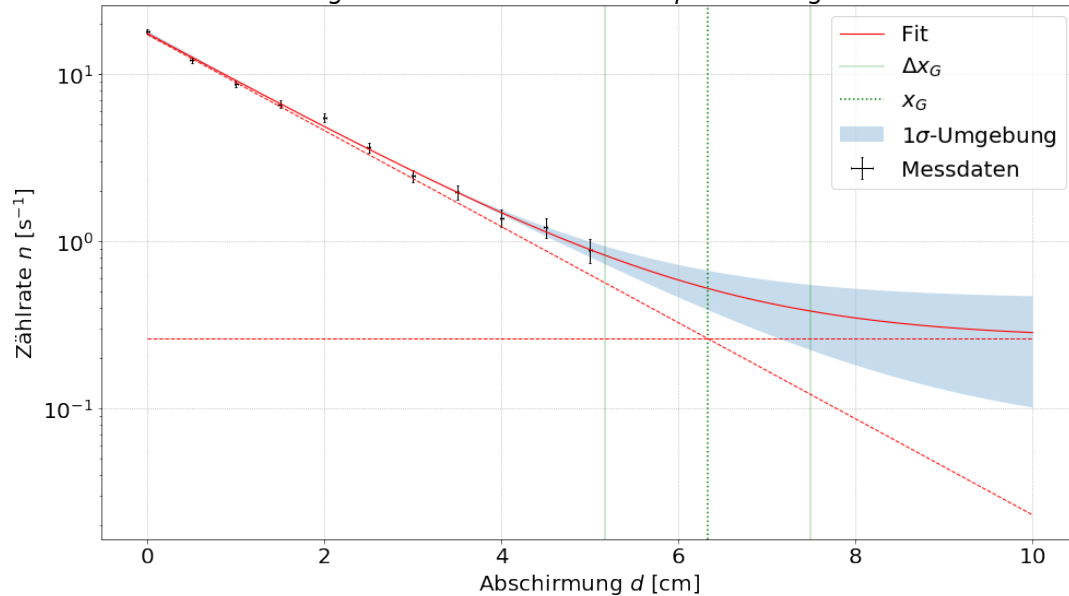
from scipy.stats import chi2

dof = x.size-popt.size
chisquare = np.sum(((fit_func(popt, x)-y)**2)/
                  (delta_y**2+((fit_func(popt, x+delta_x)-fit_func(popt,
↪x-delta_x))/2)**2))
chisquare_red = chisquare/dof
prob = round(1-chi2.cdf(chisquare,dof),2)*100

print('mu =', popt[0], ' ± ', perr[0], ' [1/cm]')
print('n0_gamma =', popt[1], ' ± ', perr[1], ' [1/sec]')
print(' => n0_gamma_min =', round(popt[1]*60,0), ' ± ', round(perr[1]*60,3), ' [1/
↪min]')
print('A =', popt[2], ' ± ', perr[2], ' [1/sec]')
print()
print('x_G =', x_G, ' ± ', x_G_err, ' [cm]')
print()
print('Chi-Quadrat =', chisquare)
print('Freiheitsgrade =', dof)
print('Chi-Quadrat reduziert =', chisquare_red)
print('Wahrscheinlichkeit ein größeres oder gleiches Chi-Quadrat zu erhalten =',
↪prob, '%')

```

Diagramm 2: Absorption von  $\gamma$ -Strahlung in Pb



```
mu = 0.6625790725856205 ± 0.03559706992119007 [1/cm]
n0_gamma = 0.26072677363239616 ± 0.19153455703618955 [1/sec]
=> n0_gamma_min = 16.0 ± 11.492 [1/min]
A = 17.309006852451137 ± 0.4530444037815156 [1/sec]

x_G = 6.33208839703506 ± 1.160414431423299 [cm]

Chi-Quadrat = 8.42258957854384
Freiheitsgrade = 8
Chi-Quadrat reduziert = 1.05282369731798
Wahrscheinlichkeit ein größeres oder gleiches Chi-Quadrat zu erhalten = 39.0 %
```

### 5.3.2 Schwächungskoeffizient

```
[20]: mu=popt[0] #1/cm
mu_err=(perr[1])**0.5
print('Aus dem linearen Fit folgt für den Schwächungskoeffizienten:')
print('mu = (' + str(mu) + ' ± ' + str(mu_err) + ') 1/cm' )

#Massenschwächungskoeffizient
rho_pb=11.342 #g/cm³

mu_rho=mu/rho_pb #cm²/g
mu_rho_err=mu_rho*(mu_err/mu)

print()
print('Für den materialunabhängigen Massenschwächungskoeffizienten mu/rho folgt:')
print('mu/rho = (' + str(mu_rho) + ' ± ' + str(mu_rho_err) + ') cm²/g')
print()
#Ablesen der zugehörigen Energie aus Diagramm 6 in der Anleitung liefert:

E_gamma, E_gamma_err = 0.43, 0.1 # [MeV]

#Vergleich mit Literaturwert (Diagramm 5) liefert:
```



```

E_gamma_lit = [1.173, 1.333]

for i in range(0,2):
    diff = np.abs(E_gamma - E_gamma_lit[i])
    diff_err = E_gamma
    sig = diff/diff_err
    print('mögliche Energie: ', E_gamma_lit[i],
          ' [MeV]\nMesswert: ', E_gamma, ' ± ', E_gamma_err,
          ' [MeV]\nDiff_E: ', diff, ' ± ', diff_err,
          ' [MeV]\n=> sigma =', sig)
    print()

```

Aus dem linearen Fit folgt für den Schwächungskoeffizienten:

$\mu = (-64.85925491166911 \pm 19.04246091822835) \text{ 1/cm}$

Für den materialunabhängigen Massenschwächungskoeffizienten  $\mu/\rho$  folgt:

$\mu/\rho = (-5.718502460912459 \pm 1.6789332497115455) \text{ cm}^2/\text{g}$

mögliche Energie: 1.173 [MeV]  
 Messwert: 0.43 ± 0.1 [MeV]  
 Diff\_E: 0.7430000000000001 ± 0.43 [MeV]  
 => sigma = 1.7279069767441864

mögliche Energie: 1.333 [MeV]  
 Messwert: 0.43 ± 0.1 [MeV]  
 Diff\_E: 0.903 ± 0.43 [MeV]  
 => sigma = 2.1

Aus dem Fit folgt für den Schwächungskoeffizienten  $\mu$ :

$$\begin{aligned}\mu &= 0.6626 \pm 0.0356 \text{ [1/cm]} \\ \rho &= 11.342 \text{ [cm}^3/\text{g]} \\ \Rightarrow \frac{\mu}{\rho} &= 0.0584 \pm 0.0386 \text{ [cm}^2/\text{g]}\end{aligned}$$

$$E_{mes} = 0.43 \pm 0.1 \text{ [MeV]}$$

Die Werte der Energieberechnung sind:

| Übergangsenergie            | $\Delta E$        | $\sigma$ -Abw. |
|-----------------------------|-------------------|----------------|
| $E_1 = 1.173 \text{ [MeV]}$ | $0.743 \pm 0.430$ | 1.73           |
| $E_2 = 1.333 \text{ [MeV]}$ | $0.904 \pm 0.430$ | 2.10           |

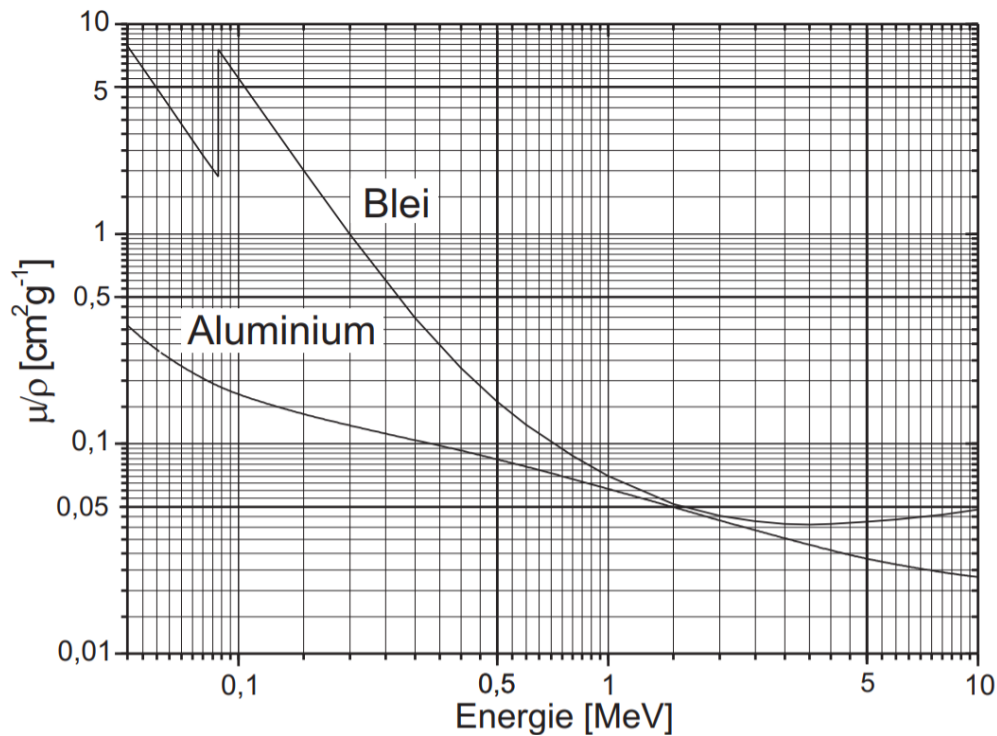


Figure 6: Schwächungskoeffizient  $\mu$  von  $\gamma$ -Strahlung in Blei und Aluminium. Nach: E. Storm, H.I. Israel, Photon Cross Section from 1 keV to 100 MeV for elements Z=1 to 100, NUCLEAR DATA TABLES A7, 565-681 (1970).

## 5.4 Teil 4: Aktivität des vorliegenden $\gamma$ -Strahlers

### 5.4.1 Rückrechnung vom Litteraturwert

Der Herstellerangaben zur beziehen sich natürlich nur auf die am Herstellungsdatum gemessene Aktivität  $A_0$ , welche mit der Zeit exponentiell nachlässt. Durch die bekannte Halbwertszeit des Präparats kann man die nun die erwartete Aktivität am Versuchstag berechnen und schauen wie stark diese von den Herstellerangaben abweicht. Die Aktivität bei der Herstellung des Präparats am 2.3.2010, wurde angegeben als:

$$A_0 = 3700 \text{ [kBq]} \quad (14)$$

```
[9]: # Herstellerangabe: 3700kBq am 2.3.2010

AO=3700e3 #Bq

# Versuchsdatum: 9.3.2022; Differenz: 4418 ± 1* dys => 12.1041 yrs
# *(je nachdem ob man den Versuchstag dazuzählt)

del_t=12.1041 # yrs
del_t_err=1/365

# Halbwertszeit nach Skript T12=5.27 yrs

T12=5.27 # yrs

# Aktivität am Versuchstag

A_lit = AO*np.exp(-np.log(2)*del_t/T12)
```

```
A_lit_err = (np.log(2)*A0*np.exp(-(np.log(2)*del_t)/T12))/T12*del_t_err

print('Für die Aktivität A_lit des Gamma-Strahlers am Versuchstag folgt:')
print('A_lit = ', A_lit*1e-3, ' ± ', A_lit_err, ' [kBq]')
```

Für die Aktivität  $A_{lit}$  des Gamma-Strahlers am Versuchstag folgt:  
 $A_{lit} = 753.0053926239844 \pm 271.34390311858255$  [kBq]

Erwartete Aktivität am Versuchstag (Literaturwer):

$$A_{lit} = 753 \pm 271 \text{ [kBq]} \quad (15)$$

Diesen Wert werden wir mit unseren gemessenen Aktivitäten vergleichen. Wichtig hierbei ist das wir die Zählrate ja nur in einem kleinem Raumwinkel  $\Omega$  aufgenommen haben. Für die Berechnung der Aktivität extrapolieren wir die gemessene Aktivität im Raumwinkel  $\Omega$  in alle Richtungen. Da  $d \ll r$ :

$$\Omega \approx \frac{\pi r^2}{d^2} \quad (16)$$

Für die gesammte Kugeloberfläche folgt für die Aktivität  $A$  damit:

$$A = \frac{4\pi n}{\epsilon \Omega} = \frac{4n d^2}{\epsilon r^2} \quad (17)$$

Wobei  $d$  der Abstand zum Zählrohr,  $r$  der Zählrohrradius,  $\epsilon$  die Ansprechwahrscheinlichkeit des Zählrohrs und  $n$  die gemessenen Counts darstellt.

```
[10]: #Abstand Präparat und Zählrohr
d=np.array([0.05,0.10,0.20,0.30]) #m
d_err=8e-3*np.ones(d.size)

#registrierte Zerfälle, direkt in Zerfälle/s
N=1/60*np.array([15034,3886,990,456])
N_err=1/60*np.sqrt(60*N)

#Radius des Zählrohrs
r=7e-3 #m

#Raumwinkel
Omega=np.pi*r**2/d**2
Omega_err=Omega*2*d_err/d

#Ansprechwahrscheinlichkeit Zählrohr für gamma-Strahlung
epsilon= 0.04
epsilon_err=epsilon*0.03

#Aktivität für gesamte Kugelfläche
A=0.5*4*N/epsilon*d**2/r**2 #Faktor 0.5, da 2 gamma-Quanten pro Zerfall
A_err=A*np.sqrt((N_err/N)**2+(d_err/d)**2+(epsilon_err/epsilon)**2)

print('Für die Aktivität A des Gamma-Strahlers folgt:')
for i in range(0,4):
    print('A_%d = ' %(d[i]*100) + str(A[i]*1e-3)+ ' ± ' + str(A_err[i]*1e-3)+'_
    ↳[kBq]')
```

Für die Aktivität A des Gamma-Strahlers folgt:

A<sub>5</sub> = 639.2006802721089 ± 104.18484009523695 [kBq]

A<sub>10</sub> = 660.8843537414967 ± 57.45261212602663 [kBq]

A<sub>20</sub> = 673.4693877551022 ± 39.90043835921868 [kBq]

A<sub>30</sub> = 697.9591836734693 ± 43.04826190426189 [kBq]

```
[11]: #Vergleich der Messwerte mit Literaturwert
diff_A = np.abs(A-A_lit)
diff_A_err = np.sqrt(A_err**2 + A_lit_err**2)

for i in range(0,4):
    print('Der Vergleich mit dem Literaturwert liefert:')
    print('diff_%d ='%(d[i]*100), diff_A[i]*1e-3, ' ± ', diff_A_err[i]*1e-3, '␣
    →[kBq]')
    print('=> sigma =',(diff_A[i]/diff_A_err[i]).round(2))
    print()
```

Der Vergleich mit dem Literaturwert liefert:

diff\_5 = 113.80471235187561 ± 104.18519344505653 [kBq]

=> sigma = 1.09

Der Vergleich mit dem Literaturwert liefert:

diff\_10 = 92.12103888248781 ± 57.45325288978355 [kBq]

=> sigma = 1.6

Der Vergleich mit dem Literaturwert liefert:

diff\_20 = 79.53600486888236 ± 39.90136098896338 [kBq]

=> sigma = 1.99

Der Vergleich mit dem Literaturwert liefert:

diff\_30 = 55.04620895051526 ± 43.049117069827176 [kBq]

=> sigma = 1.28

Wir erhalten folgende Werte im Vergleich zum Literaturwert  $A_{lit}$ :

| Abstand $d$ [cm] | $A_{mes}$     | $\sigma$ -Abw. |
|------------------|---------------|----------------|
| 5                | $639 \pm 104$ | 1.09           |
| 10               | $661 \pm 58$  | 1.60           |
| 20               | $673 \pm 40$  | 1.99           |
| 30               | $698 \pm 43$  | 1.28           |

#### 5.4.2 Raumwinkel-Korrektur

Der Raumwinkel wird überschätzt wenn wir annehmen dass der Detektor am Eingang vollkommen bestrahlt wird und unterschätzt wenn er nur am hinterem Ende vollkommen bestrahlt wird. (siehe Abbildung 7) Wir wollen beide Extrema vermeiden und nehmen an wir messen genau in der Mitte:

$$\Omega \approx \frac{\pi r^2}{d} \Rightarrow \Omega \approx \frac{\pi r^2}{d + l/2} \quad (18)$$

$$A^{korr} = \frac{4n}{\epsilon} \frac{(d + l/2)^2}{r^2} = A \cdot k_1 \quad (19)$$

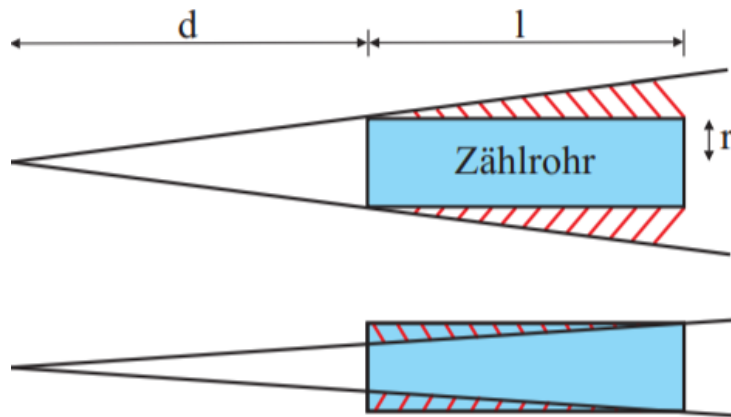


Figure 7: Extremfälle des Raumwinkels.

```
[12]: #Länge l des Zählrohrs: l=4cm
l=4e-2 #m

#Korrekturfaktor k1=(1+0.5*l/d)**2
k1=(1+0.5*l/(d+7e-3))**2
k1_err=2*(1+0.5*l/(d+7e-3))*0.5*l/(d+7e-3)**2*d_err

#korrigierte Aktivität A_korr=A*k1
A_korr=A*k1
A_korr_err=A_korr*np.sqrt((A_err/A)**2+(k1_err/k1)**2)

#Vergleich der Messwerte mit Literaturwert
diff_A_korr=np.abs(A_korr-A_lit)
diff_A_korr_err=A_korr_err

print('Der Korrekturfaktor k1 und die korrigierte Aktivität A_korr ergeben sich zu:
->')
for i in range(0,4):
    print('k1_%d ='%(d[i]*100), k1[i], ' ± ', k1_err[i])
    print('A_korr_%d ='%(d[i]*100) + str(A_korr[i]*1e-3)+' ± ' +
->str(A_korr_err[i]*1e-3)+' [kBq]')
    print('=> sigma =',(diff_A_korr[i]/diff_A_korr_err[i]).round(2))
    print()
```

Der Korrekturfaktor k1 und die korrigierte Aktivität A\_korr ergeben sich zu:

```
k1_5 = 1.82486919052016 ± 0.13305038527374147
A_korr_5 = 1166.457627988099 ± 208.27824583716048 [kBq]
=> sigma = 1.99
```

```
k1_10 = 1.4087693248318631 ± 0.03317434571684422
A_korr_10 = 931.0336048123505 ± 83.85436696523719 [kBq]
=> sigma = 2.12
```

```
k1_20 = 1.2025718219795094 ± 0.008189639767465642
A_korr_20 = 809.895308680078 ± 48.299093429779845 [kBq]
=> sigma = 1.18
```

```
k1_30 = 1.1345372364693525 ± 0.003616451161682981
A_korr_30 = 791.860683413303 ± 48.9050386203868 [kBq]
=> sigma = 0.79
```

### 5.4.3 Absorptions-Korrektur

Aufgrund der Absorption in der Präparatskapsel ist eine weitere Korrektur notwendig:

$$A_{\text{abgesch.}} = A_{\text{offen}} \cdot e^{-\mu x} = A_{\text{offen}} \cdot k_2 \quad (20)$$

```
[13]: #Präparatkapselnden
d1=0.14 #cm
rho_kapsel=7.9 #g/cm^3
#mu_rho aus vorherigem Aufgabenteil
mu_kapsel=mu_rho*rho_kapsel #1/cm
mu_kapsel_err=mu_kapsel*mu_rho_err/mu_rho

#Korrekturfaktor k2=exp(-mu*x)
k2=np.exp(-mu_kapsel*d1)
k2_err=k2*d*mu_kapsel_err

print('Der Korrekturfaktor k2 ergibt sich zu:')
print('k2 = ' + str(k2)+' ± ' + str(k2_err))
print()

#korrigierte Aktivität A_korr2=A_korr*k2
A_korr2=A_korr*k2
A_korr2_err=A_korr2*np.sqrt((A_korr_err/A_korr)**2+(k2_err/k2)**2)

#Vergleich der Messwerte mit Literaturwert
diff_A_korr2=np.abs(A_korr2-A_lit)
diff_A_korr2_err=A_korr2_err

print('Die korrigierte Aktivität A_korr2 ergibt sich zu:')
for i in range(0,4):
    print('A_korr2_%d ='%(d[i]*100) + str(A_korr2[i]*1e-3)+ ' ± ' + str(
    A_korr2_err[i]*1e-3)+ ' [kBq]')
    print('=> sigma = ',(diff_A_korr2[i]/diff_A_korr2_err[i]).round(2))
    print()
```

Der Korrekturfaktor k2 ergibt sich zu:

k2 = 0.9374325087496878 ± [0.01428799 0.02857597 0.05715195 0.08572792]

Die korrigierte Aktivität A\_korr2 ergibt sich zu:

A\_korr2\_5 = 1093.4753005550936 ± 195.95682921609517 [kBq]

=> sigma = 1.74

A\_korr2\_10 = 872.7811678895071 ± 82.98809513000013 [kBq]

=> sigma = 1.44

A\_korr2\_20 = 759.2221910405682 ± 64.74962882721718 [kBq]

=> sigma = 0.1

A\_korr2\_30 = 742.3159470323749 ± 81.91516701301678 [kBq]

=> sigma = 0.13

Für die Aktivität des  $\gamma$ -Strahlers haben wir folgende verglichen zum Litteraturwert folgende Werte erhalten:

| Abstand $d$<br>[cm] | $A_{mes}$     | $\sigma$ -Abw. | $A_{mes}^{(RWK)}$ | $\sigma$ -Abw. | $A_{mes}^{(AK)}$ | $\sigma$ -Abw. |
|---------------------|---------------|----------------|-------------------|----------------|------------------|----------------|
| 5                   | $639 \pm 104$ | 1.09           | $1167 \pm 208$    | 1.99           | $905 \pm 212$    | 0.71           |
| 10                  | $661 \pm 58$  | 1.60           | $931 \pm 84$      | 2.12           | $722 \pm 230$    | 0.14           |
| 20                  | $673 \pm 40$  | 1.99           | $809 \pm 48$      | 1.18           | $628 \pm 385$    | 0.32           |
| 30                  | $698 \pm 43$  | 1.28           | $792 \pm 49$      | 0.79           | $614 \pm 563$    | 0.25           |

wobei (RWK) für die Raumwinkelkorrektur steht und (AK) für die Absorptionskorrektur.

## 5.5 Teil 5: Absorptionsmessung und Energiebestimmung von $\alpha$ -Strahlung

Hier wurde die Zählrate bei immer höheren Dichten (Druck) des Absorbermaterials aufgenommen. Auffällig dabei ist, dass die Zählrate sich bei zu gerigem Druck, kaum ändert und sogar höher wird (statistische Fluktuation). Wir vermuten als Ursache dafür die geringe Dichte von Luft bei 20 – 100 [mbar] welche zu niedrig ist um zuverlässig einen signifikanten Teil der  $\alpha$ -Teilchen abzubremesen. Die Anzahl der Stöße ist wahrscheinlich zu gering um eine messbare Abschirmung zu garantieren.

```
[14]: #Anzahl Zerfälle
n_alpha = np.
    ↳array([5676,5685,5507,5131,4995,4706,4398,3725,3003,2316,1669,1159,733,18])
n_alpha_err = np.sqrt(n_alpha)

#Torzeit immer 60s

#Druck in mbar
p = np.array([30.5,130,233,300.5,310.5,326.5,330,340,351,362.5,372.5,380,390.
    ↳5,403]) # [mbar]
p_err = np.ones(p.size)*.5
```

### 5.5.1 Fitfunktion

```
[15]: from scipy import odr

def fit_func(p, x):

    m,b = p
    return m*x+b

model = odr.Model(fit_func)

#darzustellende Daten
x = p
y = n_alpha
delta_x = p_err
delta_y = n_alpha_err

#Startparameter
para0 = [1,1]
a,b = 5,11
data = odr.RealData(x[a:b], y[a:b], sx=delta_x[a:b], sy=delta_y[a:b])
#data = odr.RealData(x, y, sx=delta_x, sy=delta_y)
odr = odr.ODR(data, model, beta0=para0 )
out = odr.run()

#1-Sigma
```

```

popt = out.beta
perr = out.sd_beta

#Sigma-Umgebung
nstd = .5 # um n-Sigma-Umgebung zu zeichnen
popt_top = popt+nstd*perr
popt_bot = popt-nstd*perr

#Plot-Umgebung
x_fit = np.linspace(300,400,1000)
fit = fit_func(popt, x_fit)
fit_top = fit_func(popt_top, x_fit)
fit_bot = fit_func(popt_bot, x_fit)

def find_P_half(a,b,size): #Erlaubt es den Halbwertsdruck genauer zu bestimmen
    ↳statt ihn abzuschätzen
    D = []
    x_fit = np.linspace(a,b,size)
    fit = fit_func(popt, x_fit)
    for k in fit:
        d = np.abs(k-n_alpha[0]/2)
        D.append(d)
    for k in x_fit:
        n = fit_func(popt,k)
        d = np.abs(n-n_alpha[0]/2)
        if d == min(D):
            return [k,d]

P_half = find_P_half(300,400,1000)[0]
P_half_err = find_P_half(300,400,1000)[1]

#Plot
fig, ax = plt.subplots(1)
plt.errorbar(x, y, yerr=delta_y, xerr=delta_x, lw=1, ecolor='k',fmt='none',
            capsize=1, label='Messdaten')
plt.title('Diagramm 3: Absorbtion von  $\alpha$ -Strahlung in Luft')
plt.grid(linestyle='dotted')
#plt.yscale('log')
plt.xlabel('Druck  $P$  [mbar]')
plt.ylabel('Zählrate  $N$  [ $s^{-1}$ ])')
plt.plot(x_fit, fit, 'r', lw=1.1, label='Fit')
plt.axvline(x=P_half-P_half_err, color='g', alpha=.25, label=r' $\Delta P_{1/2}$ ')
plt.axvline(x=P_half+P_half_err, color='g', alpha=.25)
plt.axvline(x=P_half, color='g', linestyle=':', label=r' $P_{1/2}$ ')
plt.axhline(y=n_alpha[0]/2, color='r', ls='--', lw=1)
ax.fill_between(x_fit, fit_top, fit_bot, alpha=.25,
    ↳label=str(nstd)+r' $\sigma$ -Umgebung')
plt.legend(loc='best')
plt.show()

from scipy.stats import chi2

dof = x[a:b].size-popt.size
chisquare = np.sum(((fit_func(popt, x)-y)**2)/
    (delta_y**2+((fit_func(popt, x+delta_x)-fit_func(popt,
    ↳x-delta_x))/2)**2))
chisquare_red = chisquare/dof

```



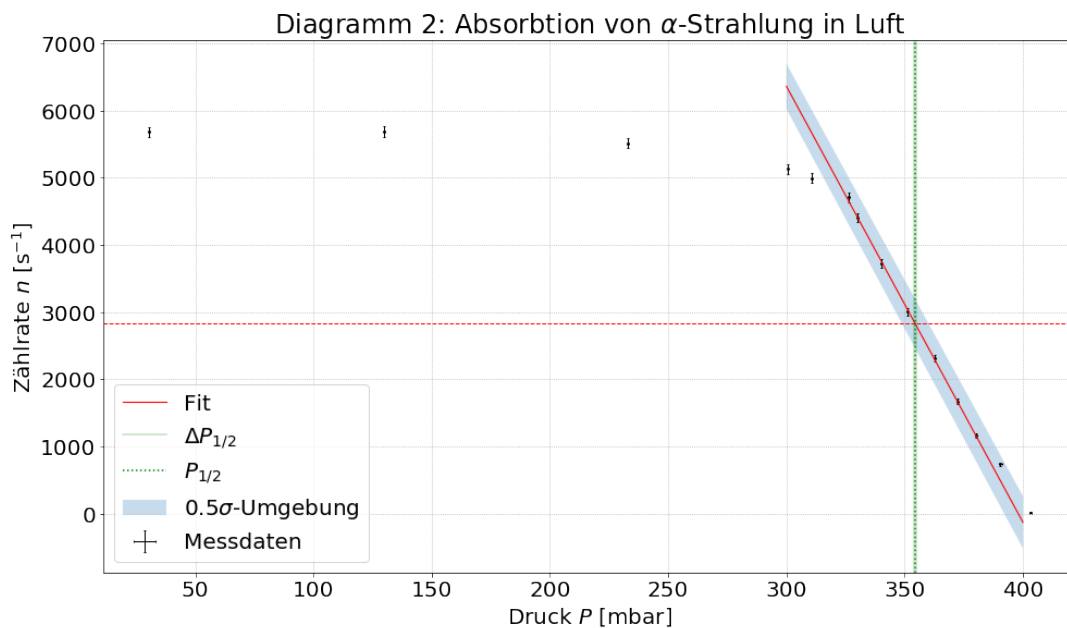
```

prob = (1-chi2.cdf(chisquare,dof))*100

print('m =', popt[0], ' ± ', perr[0], '[1/(sec mbar)]')
print('b =', popt[1], ' ± ', perr[1], '[1/sec]')
print('P_half = ', P_half, ' ± ', P_half_err, '[mbar]')

print()
print('Chi-Quadrat =', chisquare)
print('Freiheitsgrade =', dof)
print('Chi-Quadrat reduziert =', chisquare_red)
print('Wahrscheinlichkeit ein größeres oder gleiches Chi-Quadrat zu erhalten =',
      , round(prob,2), '%')

```



```

m = -64.85925491166911 ± 1.030126756901266 [1/(sec mbar)]
b = 25814.170269159724 ± 362.6153178222541 [1/sec]
P_half = 354.25425425425425 ± 0.49671106019377476 [mbar]

```

Chi-Quadrat = 73897.08298245474

Freiheitsgrade = 4

Chi-Quadrat reduziert = 18474.270745613685

Wahrscheinlichkeit ein größeres oder gleiches Chi-Quadrat zu erhalten = 0.0 %

Aus der Fitgeraden wurde folgender Wert für den Halbwertsdruck abgelesen:

$$P_{1/2} = 354.3 \pm 0.5 \text{ [mbar]} \quad (21)$$

### 5.5.2 Berechnung der Reichweite $s_1$ von $\alpha$ -Strahlung

Über dem Abfall der Zählrate mit dem Druck kann die Reichweite  $s_1$  bei dem Halbwertsdruck  $P_{1/2}$  errechnet werden über:

$$s_1 = \frac{P_{1/2}}{p_0} s_0 \quad (22)$$

wobei  $s_0$  der Abstand der Probe zum Detektor, und  $p_0$  der Normaldruck ( $p_0 = 1013$  mbar) ist.

```
[22]: #Druck p1, bei dem die Zählrate auf die Hälfte abgefallen ist
p1 = P_half
p1_err = P_half_err
#Normaldruck
p0=1013 #mbar
#Abstand Präparat - Zählrohr
s0=4.45 #cm
s0_err=0.05

#Reichweite bei p1
s1=p1/p0*s0
s1_err=s1*np.sqrt((p1_err/p1)**2+(s0_err/s0)**2)

print('Mit dem Halbwertsdruck p1 folgt für die Reichweite:')
print('s_1 = ' + str(s1)+' ± ' + str(s1_err)+' [cm]')
```

Mit dem Halbwertsdruck P\_half folgt für die Reichweite:  
 $s_1 = 1.5562008207615317 \pm 0.017621021997218836$  [cm]

### 5.5.3 Korrekturen

Die  $\alpha$ -Teilchen werden in diesem Aufbau zusätzlich noch einmal abgeschirmt. Zum einen muss die Dicke des Zählrohrfensters aus Glimmer berücksichtigt werden, welches ein Bremsvermögen von 1.43 [mg/cm<sup>2</sup>] besitzt. Dieser entspricht etwa dem Bremsvermögen von 1cm Luft unter Normalbedingungen. Mit der Flächendichte des Glimmerfensters  $\rho_{GL}$  von 2.35 [mg/cm<sup>2</sup>] erhöht sich die Reichweite  $s_1$  um:

$$s_2 = \frac{\rho_{GL}}{1.43 \text{ [mg/cm}^2\text{]}} \cdot 1 \text{ [cm]} \quad (23)$$

Außerdem ist die <sup>241</sup>Am-Quelle mit einer 3μm dicken Au-Schicht bedampft worden. Welches dem Bremsvermögen von 0.68cm Luft unter Normalbedingungen gleichkommt.

$$s_3 = 0.63 \text{ [cm]} \quad (24)$$

```
[17]: #Flächendichte Glimmerfenster
rho_GL=2.35 #mg/cm^2
s2=rho_GL/1.43 #cm

#Schutzschicht aus Gold
s3=0.68 #cm

s_ges=s1+s2+s3
s_ges_err=s1_err

print('Die Gesamtreichweite ergibt sich zu:')
print('s_ges = ' + str(s_ges)+' ± ' + str(s_ges_err)+' [cm]')
```

Die Gesamtreichweite ergibt sich zu:  
 $s_{ges} = 3.8795574641181756 \pm 0.017621021997218836$  [cm]

### 5.5.4 Energiemessung

Aus der Versuchsanleitung folgt die erwartete Energie der  $\alpha$ -Teilchen von:

$$E_{\alpha}^{lit} = 5.43 \text{ [MeV]} \quad (25)$$

```
[18]: #Aus Diagramm 5 ergibt sich eine Energie von E_alpha= 5.6 ± 0.2 MeV
E_alpha=5.3 #MeV
E_alpha_err=0.2

#Vergleich mit Literaturwert (aus Skript) liefert:
E_alpha_lit=5.48 #MeV

diff2=np.abs(E_alpha-E_alpha_lit)
diff2_err=E_alpha_err

print('Der Vergleich mit dem Literaturwert von '+str(E_alpha_lit)+' [MeV] liefert:')
print('diff = ' + str(diff2) + ' ± ' + str(diff2_err)+ ' [MeV] \n=> sigma =',
      round(diff2/diff2_err,2))
```

Der Vergleich mit dem Literaturwert von 5.48 [MeV] liefert:  
diff = 0.18000000000000006 ± 0.2 [MeV]  
=> sigma = 0.9

Mit der errechneten Reichweite  $R_{\alpha} = 3.88 \pm 0.02$  erhalten wir aus Diagramm ?? eine Energie von:

$$E_{\alpha}^{mes} = 5.3 \pm 0.2 \text{ [MeV]} \quad (26)$$

$$\Rightarrow 0.9\sigma \quad (27)$$

## 6 Diskussion

Ziel des Versuchs war es, die Absorbtion und Energie von  $\alpha$ -,  $\beta$ - und  $\gamma$ -Strahlung zu bestimmen. Hierfür wurden die drei verschiedenen Strahlungen separat betrachtet.

### 6.1 $\beta$ -Strahlung

Zuerst wurde die Absorbtion von  $\beta$ -Strahlung eines  $^{90}\text{Sr}$ -Präparats, unter Variation der Abschirmung  $a$  untersucht. Dabei wurde die Zählrate über ein Zählrohrdetektor aufgenommen.

Über die Berechnung der Flächendichte  $R_{\beta}$  und mithilfe von Diagramm 5 und 8 wurde die Energie der Betastrahlung berechnet:

$$E_{\beta} = 1.8 \pm 0.2 \text{ [MeV]}$$

$$E_{\beta}^{lit} = 2.274 \text{ [MeV]}$$

$$\Rightarrow 2.37\sigma$$

## Strontium 90 / Yttrium 90

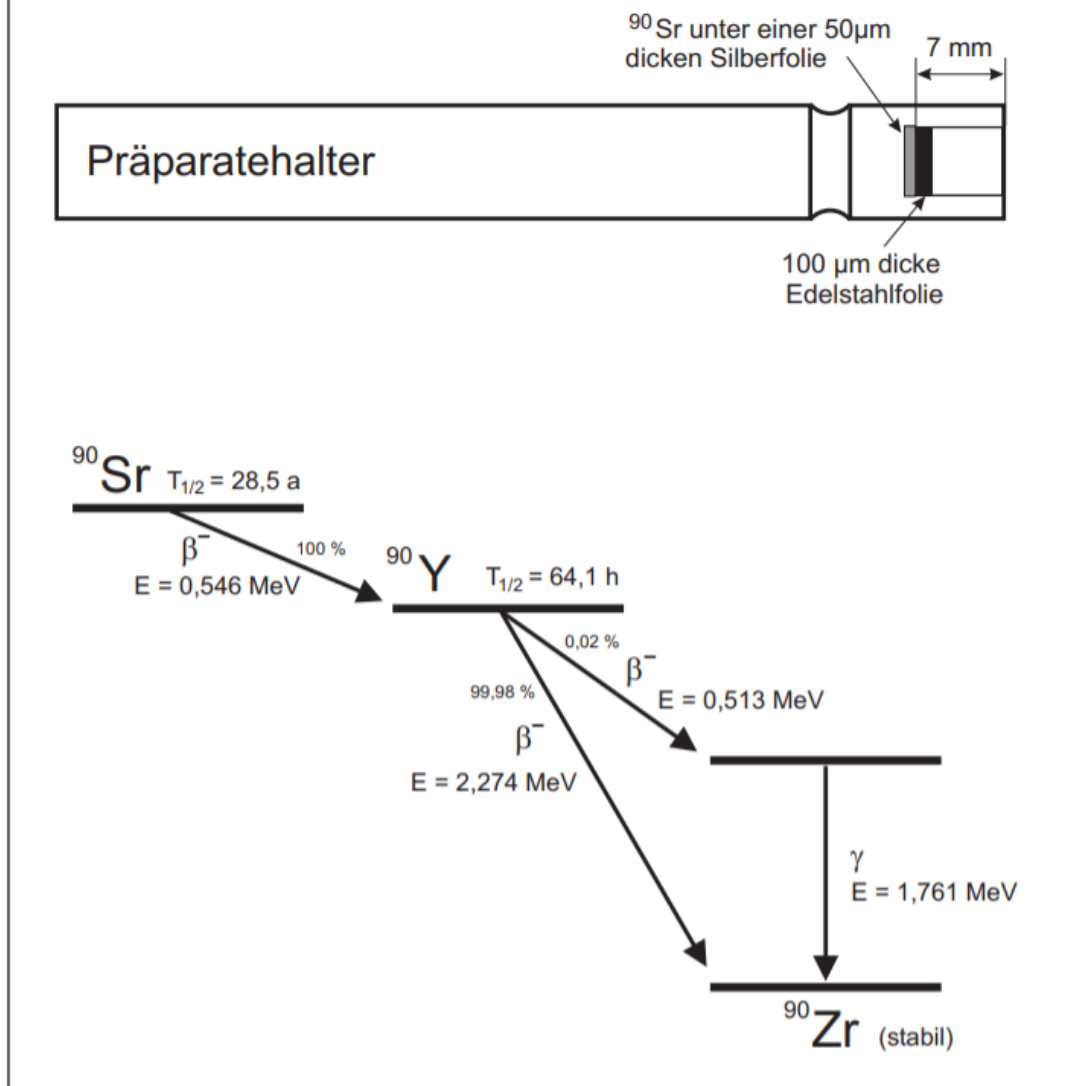


Figure 8: Oben: Aufbau des Strontium 90 Präparats. Unten: Zerfallsschema von Strontium 90 / Yttrium 90. Angegeben sind die Halbwertszeiten  $T_{1/2}$ , die Zerfallssart ( $\beta$ ,  $\gamma$ ), die Energie der emittierten Strahlung sowie die Übergangswahrscheinlichkeiten in Prozent.

Wie man sieht ist die Abweichung von  $2.37\sigma$  zwar recht groß, aber noch nicht signifikant. Möglicherweise hätte man die Aluminiumplättchen besser zusammendrücken können es waren viele Lufträume frei. Die Platten waren auch nicht besonders glatt und waren reich an Unebenheiten, dadurch haben sich vielleicht kleine Abweichungen durch das Stapeln der Platten zu größeren systematischen Fehlern zusammenaddiert. Der wahrscheinlichste Grund für die höhere Abweichung ist das wir den Abstand zum Zählrohr mit einem Zollstock abgemessen haben. Außerdem haben wir die Probe nicht ganz auf das Zählrohr zentriert. Als uns das aufgefallen ist, war die Messung bereits abgeschlossen. Wir haben aber noch die x- und y- Abweichung der Zentren von Zählrohr und Probe gemessen:

$$\Delta x = 4.5 \pm 0.2 \text{ [cm]}$$

$$\Delta y = 0.8 \pm 0.2 \text{ [cm]}$$

$$\Rightarrow \Delta r = 4.6 \pm 0.3 \text{ [cm]}$$

Unsere Vermutung war das wir dadurch kleinere Zählraten messen würden. Dies sollte aber eigentlich für die berechnung der Reichweite keinen unterschied machen da man sich ja ansieht wie stark die Zählrate abnimmt und der Schwächungskoeffizient nicht von dieser abhängt.

Unsere Vermutung hat sich bestätigt als wir die erste Messung nocheinmal wiederholt haben:

$$n(a = 0[\text{mm}], \Delta t = 30[\text{sec}]) = 1132$$

Unser Versäumniss die Probe richtig auszurichten, hat also einen großen Einfluss auf die Zählraten, es kommt schließlich mehr Strahlung am Detektor an. Dies sollte aber keinen Einfluss darauf haben wie stark diese abgeschwächt wird. Allerdigns wäre eine weitere Untersuchung an dieser Stelle notwendig.

## 6.2 $\gamma$ -Strahlung

### 6.2.1 Absorbtion

Ähnlich wie bei der Betrachtung der  $\beta$ -Strahlung, wurde auch hier die Abschwächung, diesmal aber durch Blei, gemessen. Wichtig hierbei ist die Tatsache das die Abschirmung diesmal nicht am Zählrohr, sondern an der Probe angelegt wurde. Für den Fall dass die Probe dann vollständig abgeschirmt wurde, hätte man immernoch die Grundradioaktivität gemessen. Dies war bei der  $\beta$ -Strahlung nicht der Fall, da hier die Abschirmung direkt am Zählrohr angebracht wurde und so auch die Grundaktivität im Versuchsraum abgeschwächt wurde. Dazu müsste man aber wissen, was genau man für Strahlung bei der Nullmessung in 5.1 gemessen hat. Handelt es sich dabei z.B. um kosmischer Strahlung so wird die 4 cm Dicke Al-Schicht, kaum einen Unterschied machen. Auch hier wäre eine weitere Untersuchung notwendig, um quantitative Aussagen zu machen.

Auch hier wurde wieder die Energie der Strahlung bestimmt. Diesmal aber über den Schwächungskoeffizienten  $\mu$ .

$$\mu = 0.6626 \pm 0.0356 \text{ [1/cm]}$$

$$\rho = 11.342 \text{ [cm}^3/\text{g]}$$

$$\Rightarrow \frac{\mu}{\rho} = 0.0584 \pm 0.0386 \text{ [cm}^2/\text{g]}$$

Aus dem Diagramm 6 haben wir folgenden Wert erhalten

$$E_{mes} = 0.43 \pm 0.1 \text{ [MeV]}$$

Welcher mit den Werten aus dem Zerfalssdiagramm:

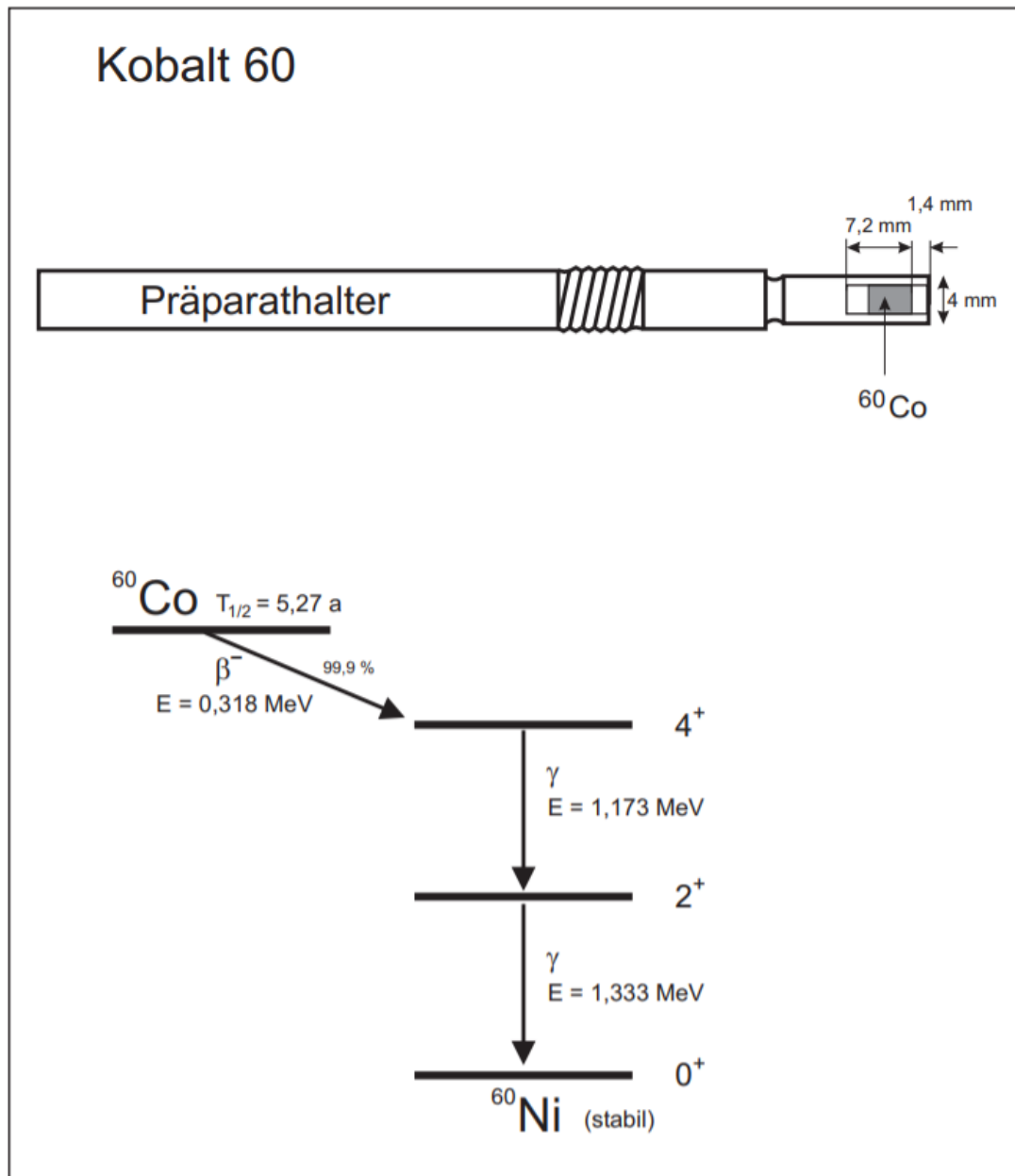


Figure 9: Oben: Aufbau des Kobalt 60 Präparats. Unten: Zerfallsschema von Kobalt 60.

Folgende Abweichungen vom Litteraturwert besitzt.

| Übergangsenergie            | $\Delta E$        | $\sigma$ -Abw. |
|-----------------------------|-------------------|----------------|
| $E_1 = 1.173 \text{ [MeV]}$ | $0.743 \pm 0.430$ | 1.73           |
| $E_2 = 1.333 \text{ [MeV]}$ | $0.904 \pm 0.430$ | 2.10           |

Auch hier haben wir hohe  $\sigma$ -Abweichungen die aber alle noch nicht signifikant sind.

### 6.2.2 Aktivität

Es wurde außerdem noch die Aktivität des Strahlers zu verschiedenen Abständen vom Zählrohr gemessen und mit entsprechenden Korrekturen versehen. Zum einem wurde eine Raumwinkelkorrektur (RWK) und eine Absorbtionskorrektur (AK) durchgenommen. Die Aktivität wurde dann mit den extrapolierten Herstellerangaben verglichen:

| Abstand $d$<br>[cm] | $A_{mes}$     | $\sigma$ -Abw. | $A_{mes}^{(RWK)}$ | $\sigma$ -Abw. | $A_{mes}^{(AK)}$ | $\sigma$ -Abw. |
|---------------------|---------------|----------------|-------------------|----------------|------------------|----------------|
| 5                   | $639 \pm 104$ | 1.09           | $1167 \pm 208$    | 1.99           | $905 \pm 212$    | 0.71           |
| 10                  | $661 \pm 58$  | 1.60           | $931 \pm 84$      | 2.12           | $722 \pm 230$    | 0.14           |
| 20                  | $673 \pm 40$  | 1.99           | $809 \pm 48$      | 1.18           | $628 \pm 385$    | 0.32           |
| 30                  | $698 \pm 43$  | 1.28           | $792 \pm 49$      | 0.79           | $614 \pm 563$    | 0.25           |

Wie man erkennen kann, werden die Abweichungen vom Literaturwert am Ende recht gering. Dies lag vor allen an den sehr großen Fehlern die mit jeder weiteren Korrektur größer wurden.

### 6.3 $\alpha$ -Strahlung

Schließlich wurde noch die Absorption von  $\alpha$ -Strahlung in Luft untersucht. Dabei war die Energie der  $\alpha$ -Teilchen zu bestimmen. Hierzu wurde der Halbwertsdruck  $P_{1/2}$  aus einem Linearen Fit im abfallenden Teil der Verlaufskurve numerisch extrapoliert. So konnte die Reichweite, nach zwei weiteren Korrekturen, und schließlich auch die Energie bestimmt werden:

$$\begin{aligned}
 E_{\alpha}^{lit} &= 5.48 \text{ [MeV]} \\
 E_{\alpha}^{mes} &= 5.3 \pm 0.2 \text{ [MeV]} \\
 &\Rightarrow 0.9\sigma
 \end{aligned}$$

Auch hier ist keine signifikante Abweichung zu vermerken.

### 6.4 Fazit

Der Versuch war sehr Aufschlussreich und hat noch einmal die Grundprinzipien vom Strahlenschutz verdeutlicht. Es war besonders interessant die Messdaten auszuwerten und zu erläutern, besonders die kleinen Abweichungen in der Durchführung, wo man z.B. die Abschirmung aufbaut, ob am Detektor oder an der Probe und inwiefern das einen Unterschied macht. Sowie die damit verbundene Frage, was denn eigentlich beim Nulleffekt gemessen wurde. Man schließt den Versuch, mit dem Interesse ab, diesen Nebeneffekten auf den Grund zu gehen und mehr Daten zu sammeln. Alles in einem ist der Versuch durchaus als Erfolg zu betrachten. Insbesondere sprechen die nicht signifikanten Abweichungen für einen saubere Messarbeit (vor allem seitens des Zählrohres) und eine Erfolgreiche Auswertung.